

## Comunicaciones Digitales

### Capítulo 3

#### Modulaciones angulares (de fase y frecuencia)

Marcelino Lázaro

Departamento de Teoría de la Señal y Comunicaciones  
Universidad Carlos III de Madrid

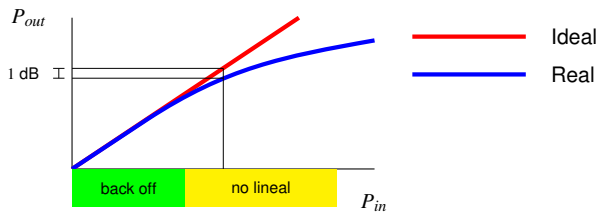


# Índice

- Modulaciones de fase (lineales)
  - ▶ Modulación por desplazamiento de fase (PSK)
  - ▶ Modulación PSK en cuadratura (QPSK)
  - ▶ Modulación QPSK con desplazamiento temporal (OQPSK)
  - ▶ Modulaciones PSK diferenciales (DPSK)
- Modulaciones de frecuencia (no lineales)
  - ▶ Modulación por desplazamiento de frecuencia (FSK)
  - ▶ Modulaciones de mínimo desplazamiento en frecuencia (MSK)
  - ▶ Modulaciones de fase continua (CPM)

# Características generales de las modulaciones angulares

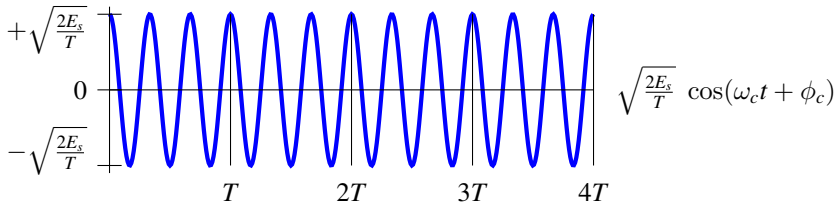
- La información transmitida ( $A[n]$ ) no está impresa en la amplitud de la señal modulada, sino en su información angular
  - ▶ Fase de la señal en el intervalo de símbolo
  - ▶ Frecuencia de la señal en el intervalo de símbolo
- Adecuadas para la transmisión cuando existe una fuerte distorsión de amplitud
  - ▶ Ejemplo: utilización de amplificadores en la zona no lineal



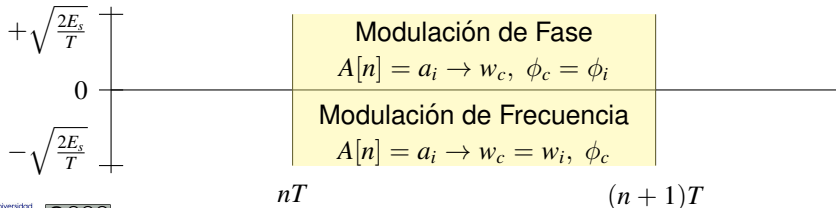
- Inconveniente: ancho de banda más elevado que el de las modulaciones lineales de amplitud

# Modulaciones angulares

- Portadora (simusoide) con amplitud constante



- ▶ Dos parámetros: fase  $\phi_c$  / frecuencia  $\omega_c$
- Modulación angular: fase / frecuencia en un intervalo de símbolo depende del símbolo transmitido en ese intervalo

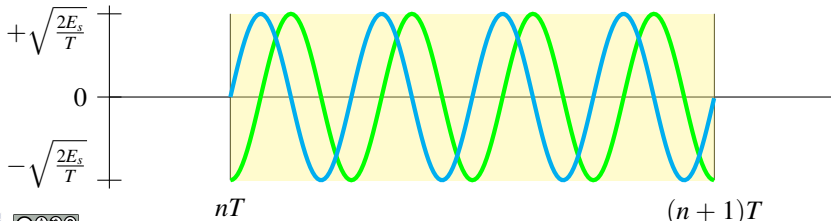
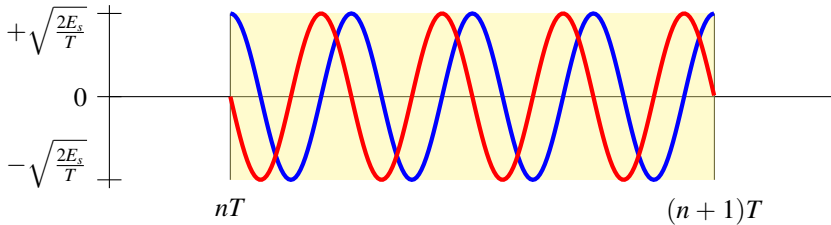


# Modulaciones angulares: ejemplo constelaciones 4-árias

$A[n] \in \{a_0 \text{ (azul)}, a_1 \text{ (rojo)}, a_2 \text{ (verde)}, a_3 \text{ (cyan)}\}$

$a_0 \equiv \phi_c = 0$     $a_1 \equiv \phi_c = 90$     $a_2 \equiv \phi_c = 180$     $a_3 \equiv \phi_c = 270$

- Modulación de fase

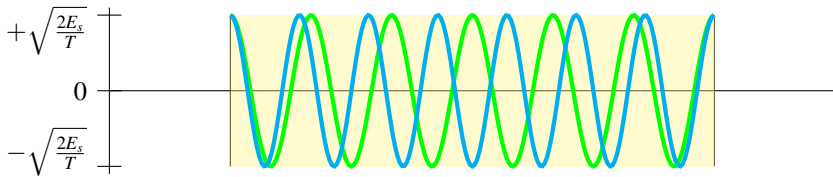
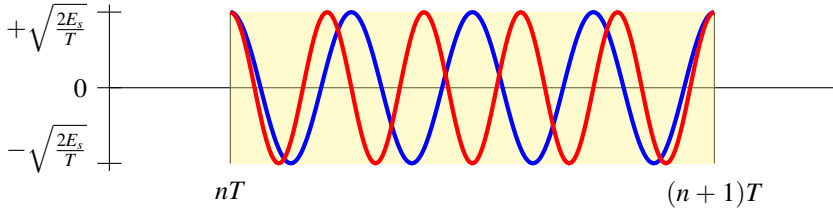


# Modulaciones angulares: ejemplo constelaciones 4-árias

$A[n] \in \{a_0 \text{ (azul)}, a_1 \text{ (rojo)}, a_2 \text{ (verde)}, a_3 \text{ (cyan)}\}$

$$a_0 \equiv \omega_c = \frac{8\pi}{T} \quad a_1 \equiv \omega_c = \frac{10\pi}{T} \quad a_2 \equiv \omega_c = \frac{12\pi}{T} \quad a_3 \equiv \omega_c = \frac{14\pi}{T} \text{ rad/s}$$
$$a_0 \equiv f_c = 4R_s \quad a_1 \equiv f_c = 5R_s \quad a_2 \equiv f_c = 6R_s \quad a_3 \equiv f_c = 7R_s \text{ Hz}$$

## ● Modulación de frecuencia



# Modulaciones de fase

- Modulación PSK (Phase Shift Keying): lineal (PAM paso banda)
  - ▶ Constelaciones de módulo constante - Información en la fase
    - ★ Símbolos

$$A[n] = \sqrt{E_s} e^{j\phi[n]}$$

- ★ Señal compleja banda base

$$s(t) = \sum_n A[n] g(t - nT) = \sqrt{E_s} \sum_n e^{j\phi[n]} g(t - nT)$$

- ★ Señal modulada paso banda

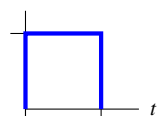
$$x(t) = \sqrt{2} \Re \{ s(t) e^{j\omega_c t} \} = \sqrt{2E_s} \Re \left\{ \sum_n g(t - nT) e^{j(\omega_c t + \phi[n])} \right\}$$

$$= \underbrace{\sqrt{2E_s} \sum_n g(t - nT)}_{\text{envolvente}} \cos(\omega_c t + \phi[n])$$

$g(t)$

- ▶ Filtro transmisor : envolvente constante se puede conseguir con

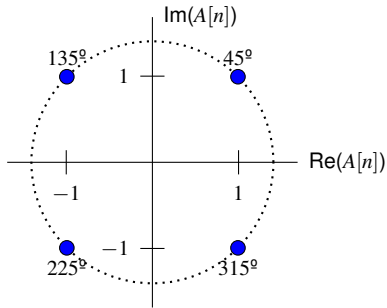
$$g(t) = \frac{1}{\sqrt{T}} w_T(t), \quad w_T(t) = \begin{cases} 1, & 0 \leq t < T \\ 0, & \text{resto} \end{cases}$$



- Inconveniente: ancho de banda elevado (saltos de fase en  $t = nT$ )

$$S_X(j\omega) = \frac{E_s}{2T} \left[ |G(j\omega - j\omega_c)|^2 + |G(j\omega + j\omega_c)|^2 \right], \quad |G(j\omega)| = \sqrt{T} \operatorname{sinc}\left(\frac{\omega T}{2\pi}\right)$$

# Modulación QPSK - $M = 4$ - Constelación



$$\phi[n] = 45: A[n] = +1 + j \equiv \begin{bmatrix} +1 \\ +1 \end{bmatrix}$$

$$\phi[n] = 135: A[n] = -1 + j \equiv \begin{bmatrix} -1 \\ +1 \end{bmatrix}$$

$$\phi[n] = 225: A[n] = -1 - j \equiv \begin{bmatrix} -1 \\ -1 \end{bmatrix}$$

$$\phi[n] = 315: A[n] = +1 - j \equiv \begin{bmatrix} +1 \\ -1 \end{bmatrix}$$

# Saltos de fase en señal QPSK

## ● Señal PSK

$$\begin{aligned}x(t) &= \sqrt{2}s_I(t) \cos(\omega_c t) - \sqrt{2}s_Q(t) \sin(\omega_c t) \\&= \sqrt{2E_s} \sum_n g(t - nT) \cos(\omega_c t + \phi[n])\end{aligned}$$

siendo

$$s_I(t) = \sum_n \operatorname{Re}\{A[n]\} g(t - nT) = \sum_n A_I[n] g(t - nT)$$

$$s_Q(t) = \sum_n \operatorname{Im}\{A[n]\} g(t - nT) = \sum_n A_Q[n] g(t - nT)$$

## ● Saltos de fase

- ▶  $\pm 90^\circ$ : cambia  $s_I(t)$  o  $s_Q(t)$
- ▶  $180^\circ$ : cambian  $s_I(t)$  y  $s_Q(t)$  simultáneamente

Relaciones trigonométricas

$$+ \cos(\omega_c t) - \sin(\omega_c t) = \sqrt{2} \cos(\omega_c t + 45^\circ)$$

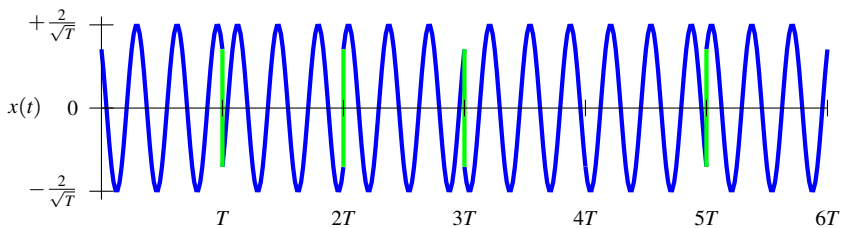
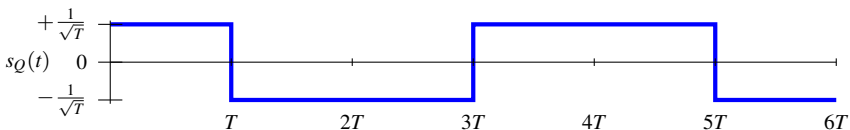
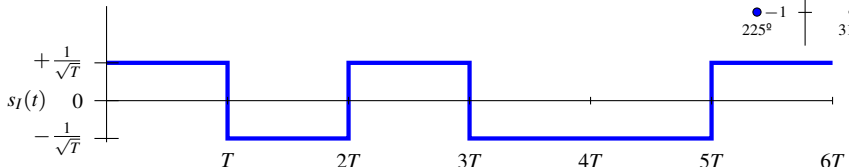
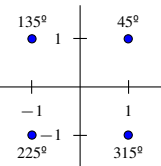
$$- \cos(\omega_c t) - \sin(\omega_c t) = \sqrt{2} \cos(\omega_c t + 135^\circ)$$

$$- \cos(\omega_c t) + \sin(\omega_c t) = \sqrt{2} \cos(\omega_c t + 225^\circ)$$

$$+ \cos(\omega_c t) + \sin(\omega_c t) = \sqrt{2} \cos(\omega_c t + 315^\circ)$$

# Modulación QPSK

$$A[0] = \begin{bmatrix} +1 \\ +1 \end{bmatrix}, A[1] = \begin{bmatrix} -1 \\ -1 \end{bmatrix}, A[2] = \begin{bmatrix} +1 \\ -1 \end{bmatrix}, A[3] = \begin{bmatrix} -1 \\ +1 \end{bmatrix}, A[4] = \begin{bmatrix} -1 \\ +1 \end{bmatrix}, A[5] = \begin{bmatrix} +1 \\ -1 \end{bmatrix}$$



# Modulación QPSK con desplazamiento temporal (OQPSK)

- Se eliminan los saltos de 180°
  - ▶ Evitar que coincidan las transiciones de  $s_I(t)$  y  $s_Q(t)$
- Señal OQPSK
  - ▶ Se retarda la componente en cuadratura  $T/2$
  - ▶ Saltos sólo de  $\pm 90^\circ$
  - ▶ Saltos más frecuentes (cada  $T/2$ )

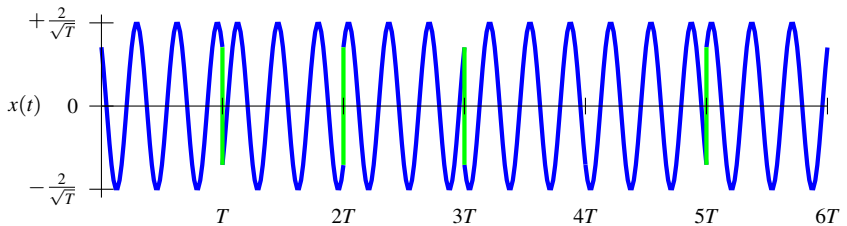
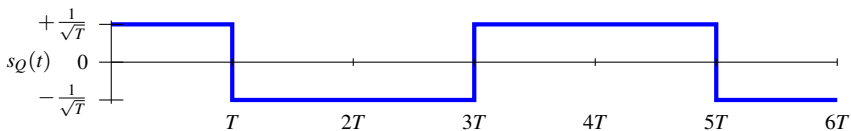
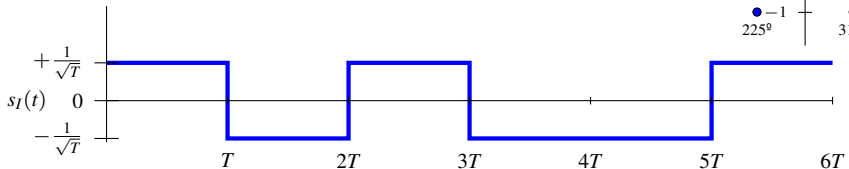
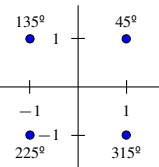
$$x(t) = \sqrt{2} s_I(t) \cos(\omega_c t) - \sqrt{2} s_Q(t) \sin(\omega_c t)$$

$$s_I(t) = \sum_n A_I[n] g(t - nT)$$

$$s_Q(t) = \sum_n A_Q[n] g(t - nT - T/2)$$

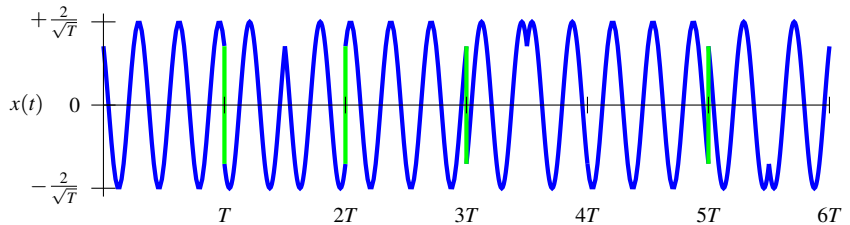
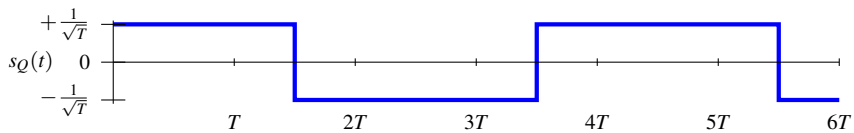
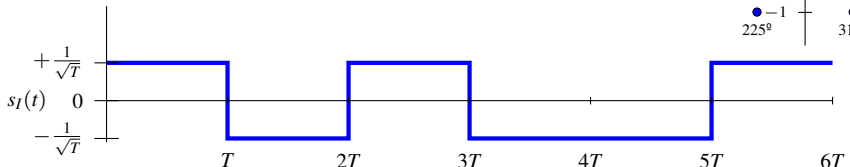
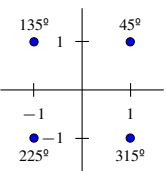
# Modulación QPSK

$$A[0] = \begin{bmatrix} +1 \\ +1 \end{bmatrix}, A[1] = \begin{bmatrix} -1 \\ -1 \end{bmatrix}, A[2] = \begin{bmatrix} +1 \\ -1 \end{bmatrix}, A[3] = \begin{bmatrix} -1 \\ +1 \end{bmatrix}, A[4] = \begin{bmatrix} -1 \\ +1 \end{bmatrix}, A[5] = \begin{bmatrix} +1 \\ -1 \end{bmatrix}$$

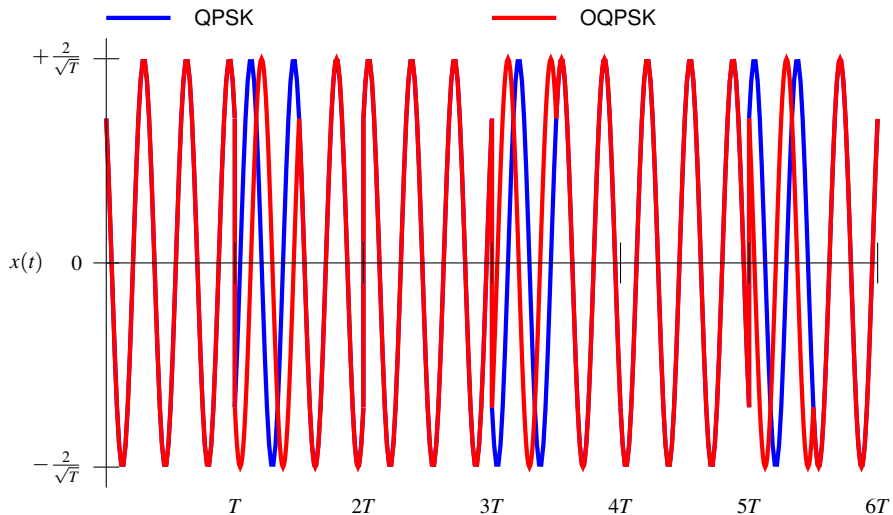


# Modulación OQPSK - Retardo de $s_Q(t)$

$$A[0] = \begin{bmatrix} +1 \\ +1 \end{bmatrix}, A[1] = \begin{bmatrix} -1 \\ -1 \end{bmatrix}, A[2] = \begin{bmatrix} +1 \\ -1 \end{bmatrix}, A[3] = \begin{bmatrix} -1 \\ +1 \end{bmatrix}, A[4] = \begin{bmatrix} -1 \\ +1 \end{bmatrix}, A[5] = \begin{bmatrix} +1 \\ -1 \end{bmatrix}$$



# Modulación QPSK vs OQPSK



# Espectro de la señal OQPSK

- Definición

$$x_I(t) = \sqrt{2}s_I(t) \cos(\omega_c t), \quad x_Q(t) = \sqrt{2}s_Q(t) \sin(\omega_c t)$$

- Espectro de cada componente ( $s_k, k \in \{I, Q\}$ )

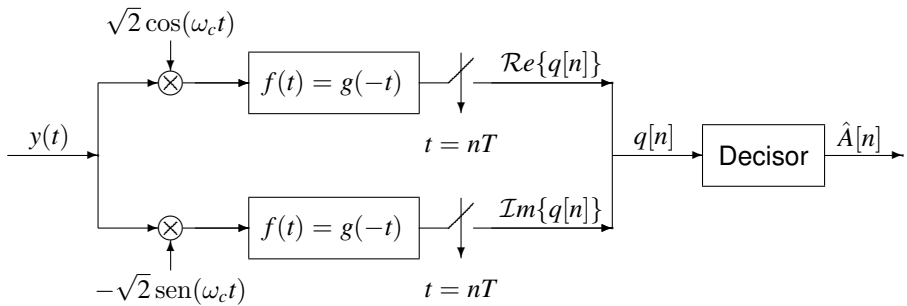
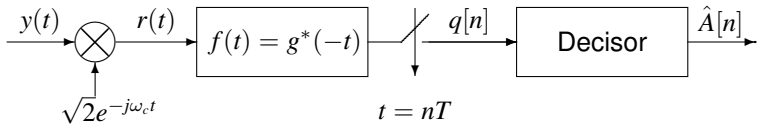
$$S_{s_k}(j\omega) = \frac{1}{2} [S_{s_k}(j\omega - j\omega_c) + S_{s_k}^*(-j\omega - j\omega_c)]$$

$$S_{s_I}(j\omega) = \frac{\mathcal{E}\{\Re e\{A[n]\}\}}{T} |G(j\omega)|^2, \quad S_{s_Q}(j\omega) = \frac{\mathcal{E}\{\Im m\{A[n]\}\}}{T} |G(j\omega)|^2$$

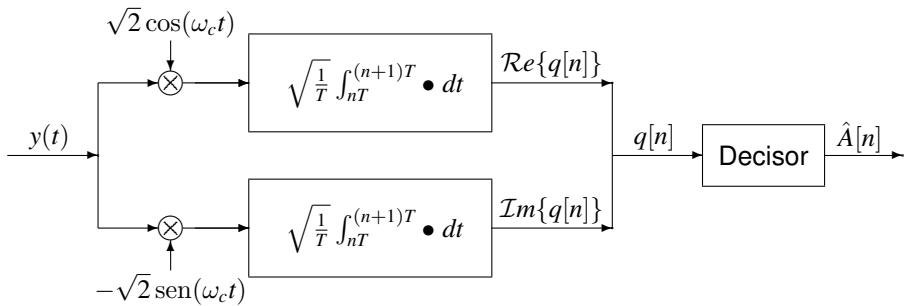
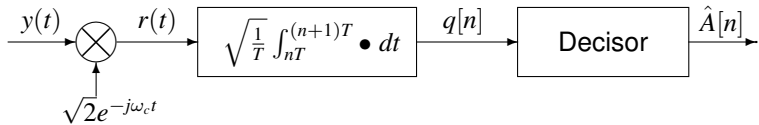
- Espectro OQPSK

$$S_X(j\omega) = \frac{E_s}{2T} [|G(j\omega - j\omega_c)|^2 + |G(-j\omega - j\omega_c)|^2]$$

# Receptor para modulaciones de fase PSK

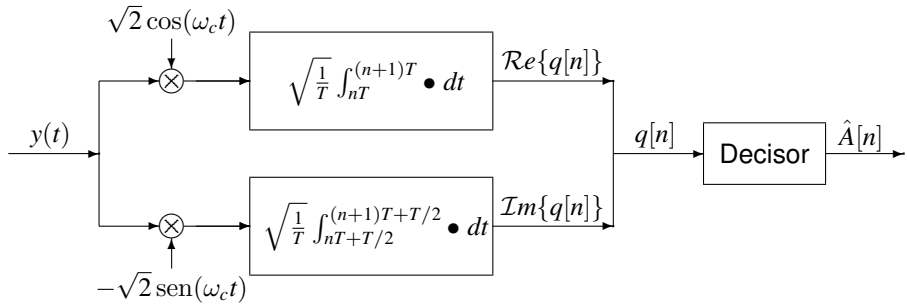


## Receptor para modulaciones de fase PSK (II)



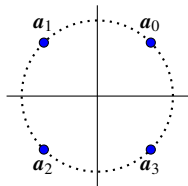
## Receptor para modulaciones OQPSK

Hay que tener en cuenta el retardo de  $T/2$  en la componente en cuadratura: retardo en el correlador

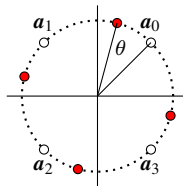


## Efecto de un receptor no coherente en modulaciones PSK

- En un receptor no coherente, las fases de las portadoras usadas para demodular ( $\theta_R$ ) es distinta de la fase de las portadoras utilizadas en el transmisor para modular ( $\theta_T$ )
  - Diferencia de  $\theta = \theta_R - \theta_T$  radianes
- El efecto de esta diferencia de fase es que la constelación recibida está rotada  $\theta$  radianes



Fase transmitida  $\phi[n]$



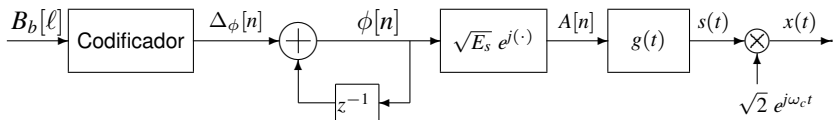
Fase recibida  $\phi_R[n] = \phi[n] + \theta$

- Este efecto puede afectar seriamente al rendimiento
- Sin embargo, receptores no coherentes tienen menor coste
  - Modulaciones PSK diferenciales (DPSK) permiten usar receptores no coherentes

# Modulación de fase diferencial (DPSK)

- No requieren un receptor coherente
- Modulación PSK con codificación diferencial

$$\phi[n] = \phi[n - 1] + \Delta_\phi[n]$$



- Codificador para modulación  $M$ -ária ( $M$  símbolos)

$$\Delta_\phi[n] \in \left\{ 0, \frac{2\pi}{M}, \dots, \frac{2\pi(M-1)}{M} \right\} \text{ rad}$$

Asignación binaria se realiza sobre  $\Delta_\phi[n]$

Ejemplo: 4-PSK	$\frac{\Delta_\phi[n]}{\text{Bits}}$	0	$\frac{\pi}{2}$	$\pi$	$\frac{3\pi}{2}$	(Codificación Gray)
		00	01	11	10	

- Inicialización: selección de un valor arbitrario (conocido) para  $\phi[-1]$

► No hay propagación de errores debido a la inicialización

# Demodulación de fase diferencial

- Decodificación de los  $m$  bits asociados al instante  $n$ 
  - Modulación PSK
    - A partir de  $\hat{\phi}[n]$  (estima de la fase del símbolo recibido)

$$\phi_R[n] = \phi[n] + \theta \Rightarrow \hat{\phi}[n] \Rightarrow m \text{ bits}$$

El desfase  $\theta$  en la fase del símbolo recibido puede ser catastrófico!!!

- Modulación DPSK
  - A partir de  $\hat{\Delta}_{\phi}[n]$  (estima de la diferencia de fases)

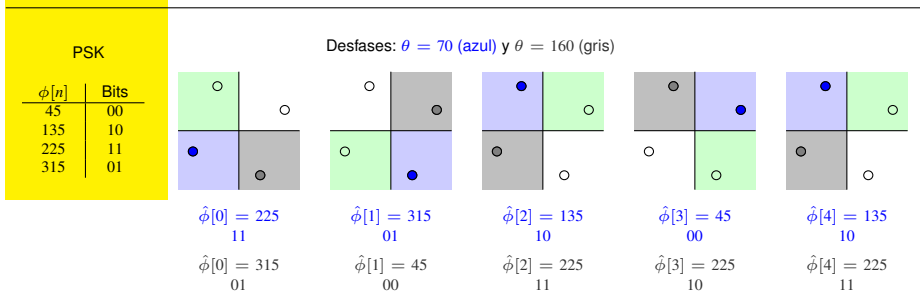
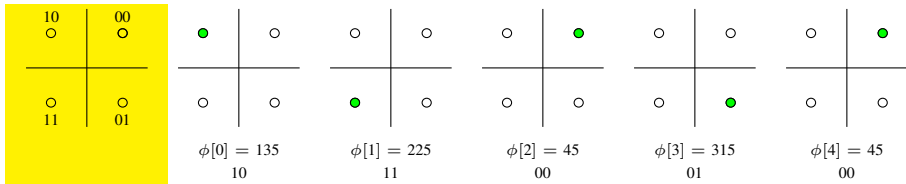
$$\phi_R[n] = \phi[n] + \theta, \quad \phi_R[n-1] = \phi[n-1] + \theta$$

$$\Delta_{\phi_R}[n] = \phi_R[n] - \phi_R[n-1] = \phi[n] - \phi[n-1]$$

$$\Delta_{\phi_R}[n] \Rightarrow \hat{\Delta}_{\phi}[n] \Rightarrow m \text{ bits}$$

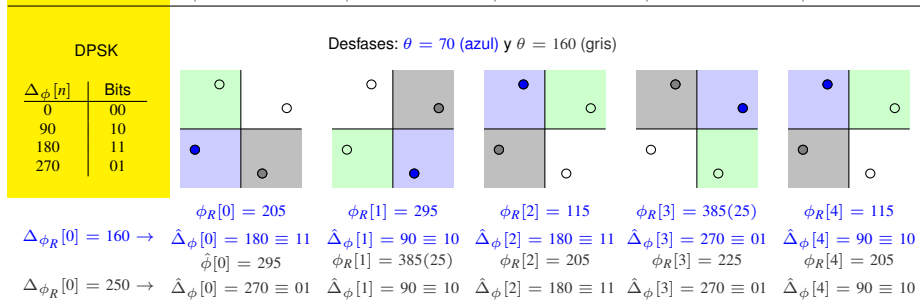
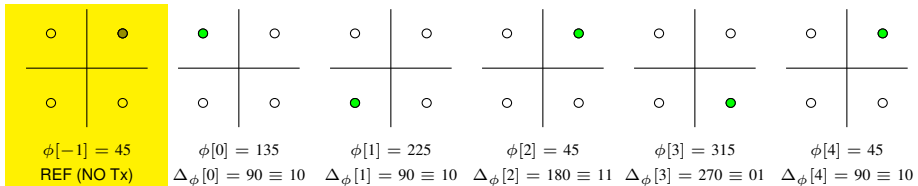
En la diferencia de fases  $\theta$  es irrelevante

# Efecto de un receptor no coherente en modulaciones PSK



$\ell$	0	1	2	3	4	5	6	7	8	9
$B_b[\ell]$	1	0	1	1	0	0	0	1	0	0
$\hat{B}_b[\ell]$	1	1	0	1	1	0	0	0	1	0
$\hat{\hat{B}}_b[\ell]$	0	1	0	0	1	1	1	0	1	1

# Efecto de un receptor no coherente en modulaciones DPSK



$\ell$	0	1	2	3	4	5	6	7	8	9
$B_b[\ell]$	1	0	1	0	1	1	0	1	1	0
$\hat{B}_b[\ell]$	1	1	1	0	1	1	0	1	1	0
$\hat{\hat{B}}_b[\ell]$	0	1	1	0	1	1	0	1	1	0

# Modulación / Demodulación DPSK - Ejemplo

- Constelación 4-PSK

$$\phi[n] \in \left\{ \frac{\pi}{4}, \frac{3\pi}{4}, \frac{5\pi}{4}, \frac{7\pi}{4} \right\} \quad \Delta_\phi[n] \in \left\{ 0, \frac{\pi}{2}, \pi, \frac{3\pi}{2} \right\} \quad \phi[-1] = \frac{\pi}{4}$$

- Asignación binaria

PSK: Asignación binaria se realiza sobre  $\phi[n]$

$\phi[n]$	$\frac{\pi}{4}$	$\frac{3\pi}{4}$	$\frac{5\pi}{4}$	$\frac{7\pi}{4}$
Bits	00	01	11	10

(Codificación Gray)

DPSK: Asignación binaria se realiza sobre  $\Delta_\phi[n]$

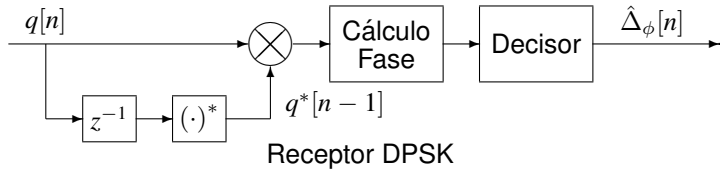
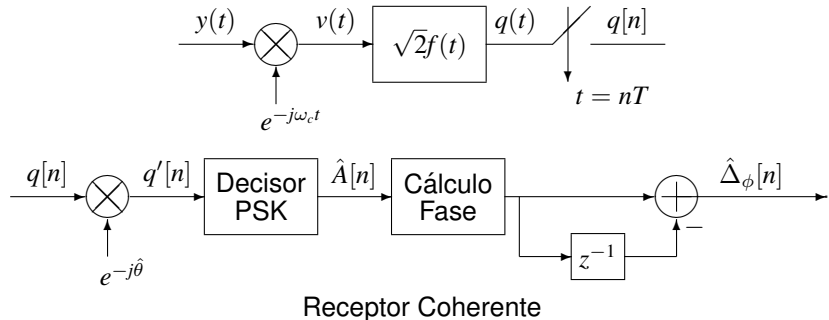
$\Delta_\phi[n]$	0	$\frac{\pi}{2}$	$\pi$	$\frac{3\pi}{2}$
Bits	00	01	11	10

(Codificación Gray)

- Secuencia binaria a trasmitir  $B_b[\ell] = 00\ 10\ 01\ 11\ 10\cdots$

$n$	0	1	2	3	4
$B[n]$	00	10	01	11	10
PSK: $\phi[n]$	$\frac{\pi}{4}$	$\frac{7\pi}{4}$	$\frac{3\pi}{4}$	$\frac{5\pi}{4}$	$\frac{7\pi}{4}$
PSK: $\phi_R[n]$	$\frac{\pi}{4} + \theta$	$\frac{7\pi}{4} + \theta$	$\frac{3\pi}{4} + \theta$	$\frac{5\pi}{4} + \theta$	$\frac{7\pi}{4} + \theta$
DPSK: $\Delta_\phi[n]$	0	$\frac{3\pi}{2}$	$\frac{\pi}{2}$	$\pi$	$\frac{3\pi}{2}$
DPSK: $\phi[n]$	$\frac{\pi}{4}$	$\frac{7\pi}{4}$	$\frac{\pi}{4}$	$\frac{5\pi}{4}$	$\frac{3\pi}{4}$
DPSK: $\phi_R[n]$	$\frac{\pi}{4} + \theta$	$\frac{7\pi}{4} + \theta$	$\frac{\pi}{4} + \theta$	$\frac{5\pi}{4} + \theta$	$\frac{3\pi}{4} + \theta$
DPSK: $\Delta_{\phi_R}[n]$	$\theta$	$\frac{3\pi}{2}$	$\frac{\pi}{2}$	$\pi$	$\frac{3\pi}{2}$

# Demodulador PSK (Diferencial)



# Receptor DPSK (no coherente)

- Observación

$$q[n] = \sqrt{E_s} e^{j(\phi[n]+\theta)} + z[n]$$

- ▶ Observación anterior (complejo conjugada)

$$q^*[n-1] = \sqrt{E_s} e^{-j(\phi[n-1]+\theta)} + z^*[n-1]$$

- Multiplicador

$$\begin{aligned} q[n] \times q^*[n-1] = & E_s e^{j(\phi[n]-\phi[n-1])} + \sqrt{E_s} e^{j(\phi[n]+\theta)} z^*[n-1] \\ & + \sqrt{E_s} e^{-j(\phi[n-1]+\theta)} z[n] + z[n] z^*[n-1] \end{aligned}$$

- Decisión

$$\hat{\Delta}_{\phi_R}[n] = \angle\{q[n] \times q^*[n-1]\}$$

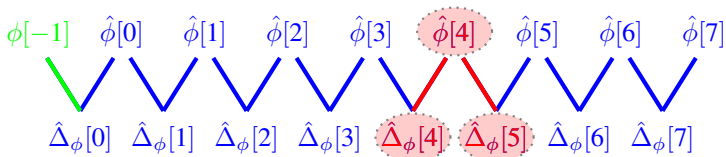
$$\hat{\Delta}_\phi[n] = \arg \min_{\Delta_\phi[n]} d\left(\hat{\Delta}_{\phi_R}[n], \Delta_\phi[n]\right)$$

# Probabilidad de error para DPSK

- Probabilidad de error usando receptores coherentes

$$P_e \approx 2 P_e^{PSK}$$

- Un error en un símbolo decidido  $\hat{A}[n]$  (fase  $\hat{\phi}[n]$ ) afecta a dos incrementos de fase  $\Delta_\phi[n]$  y  $\Delta_\phi[n + 1]$



- No tiene mucho sentido utilizar una modulación diferencial si se dispone de receptores coherentes
  - No hay ninguna ventaja en el coste del receptor
  - Las prestaciones son peores que utilizando una PSK convencional (no diferencial)

## Probabilidad de error para DPSK (II)

- Probabilidad de error con receptores no-coherentes
  - ▶ Para decodificar se procesan dos observaciones ( $q[n]$ ,  $q[n - 1]$ )
    - ★ Efecto de dos muestras de ruido

$z[n], z[n - 1]$

- ▶ Estadístico para la decisión

$$\frac{q[n] \times q^*[n - 1]}{\sqrt{E_s}} = \underbrace{\sqrt{E_s} e^{j(\phi[n] - \phi[n - 1])}}_{\text{Fase } \Delta_\phi[n]}$$

Receptor coherente PSK

$$q[n] = \underbrace{\sqrt{E_s} e^{j\phi[n]}}_{\text{Fase } \phi[n]} + z[n]$$

$$\begin{aligned} &+ e^{j(\phi[n] + \theta)} z^*[n - 1] + e^{-j(\phi[n - 1] + \theta)} z[n] \\ &+ \frac{z[n] z^*[n - 1]}{\sqrt{E_s}} \end{aligned}$$

- ▶ Términos de ruido (tres)
  - ★ El último es despreciable para  $E_s/\sigma_z^2$  alto
  - ★ Los otros dos: independientes, circularmente simétricos
- ▶ Relación señal a ruido: pérdida de 3 dB (energía de ruido  $\approx \times 2$ )
  - ★ Energía Señal:  $E_s$
  - ★ Energía Ruido:  $\approx 2\sigma_z^2$

# Modulación por desplazamiento de frecuencia (FSK)

- Información: pulsos de frecuencia discreta de una portadora
- $M$  pulsos (para mapear  $M$  símbolos)

$$g_i(t) = \operatorname{sen}(\omega_i t) w_T(t), \quad i = 0, 1, \dots, M - 1$$

- Codificador: define el índice del pulso transmitido en el instante  $n$

$$A[n] \in \{i = 0, 1, \dots, M - 1\}$$

- Señal FSK en el dominio del tiempo

$$x(t) = K \sum_n g_{A[n]}(t - nT)$$

- FSK de fase continua (CPFSK)

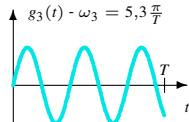
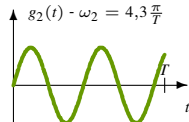
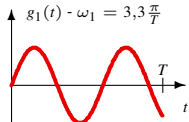
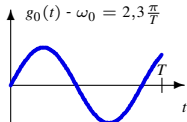
- ▶ Continuidad de fase: pulsos con un número entero de períodos en  $T$  segundos

$$\text{Frecuencias: } \omega_i = \frac{2\pi}{T} \times N_i \text{ rad/s, } f_i = R_s \times N_i \text{ Hz, } N_i \in \mathbb{Z}, \quad i = 0, \dots, M - 1$$

- ▶ Ancho de banda mínimo:  $N_i$  consecutivos (espectro de  $g_i(t)$  está en torno a  $\omega_i$ )

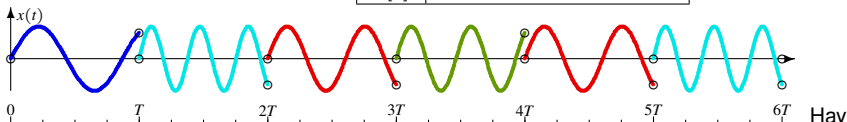
# Formas de onda FSK - Ejemplo para $M = 4$ - Saltos de fase

- Ejemplo con frecuencias que no son múltiplos enteros de  $\frac{2\pi}{T}$  rad/s



- Waveform for data sequence

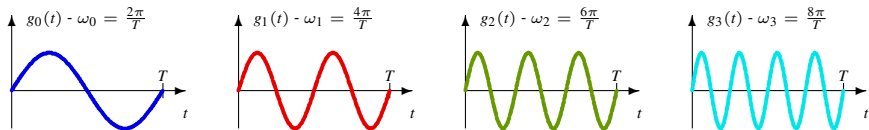
$n$	0	1	2	3	4	5
$A[n]$	0	3	1	2	1	3



saltos de fase en múltiplos de  $T$  (cuando  $A[n] \neq A[n - 1]$ )

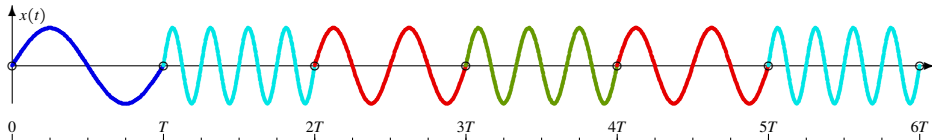
## Formas de onda CPFSK - Ejemplo para $M = 4$

- Pulsos CPFSK para  $M = 4$  (un posible ejemplo)



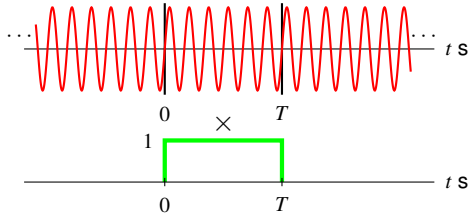
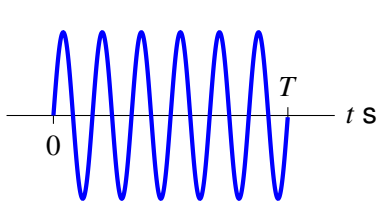
- Forma de onda para secuencia de datos

$n$	0	1	2	3	4	5
$A[n]$	0	3	1	2	1	3

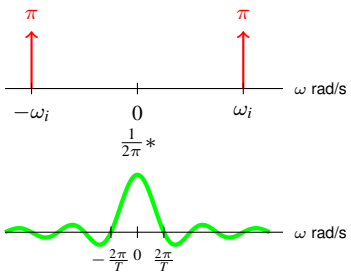
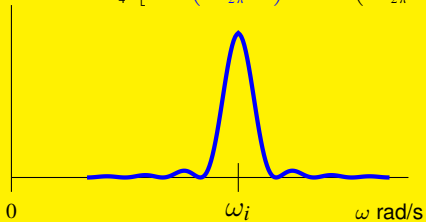


# FSK - Respuesta en frecuencia de $g_i(t)$

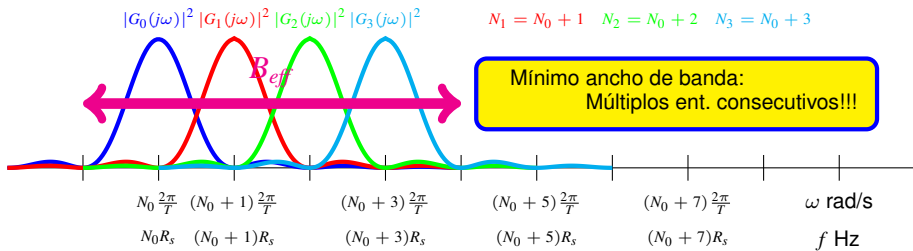
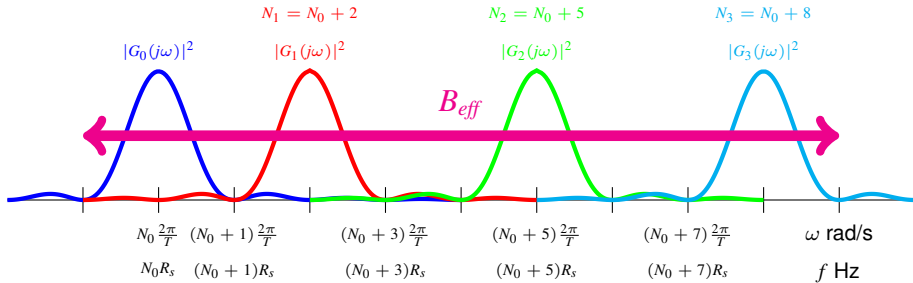
$$g_i(t) = \sin(\omega_i t) w_T(t)$$



$$|G_i(j\omega)|^2 = \frac{T^2}{4} \left[ \text{sinc}^2 \left( \frac{(\omega - \omega_i)T}{2\pi} \right) + \text{sinc}^2 \left( \frac{(\omega + \omega_i)T}{2\pi} \right) \right]$$



# CPFSK - Mínimo ancho de banda



## Ortogonalidad de los pulsos CPFSK

- Producto escalar entre dos pulsos

$$\begin{aligned}\langle g_i(t), g_\ell(t) \rangle &= \int_0^T \sin(\omega_i t) \sin(\omega_\ell t) dt \\ &= \frac{1}{2} \int_0^T \cos\left(\underbrace{(\omega_i - \omega_\ell)}_{(N_i - N_\ell) \frac{2\pi}{T}} t\right) dt - \frac{1}{2} \int_0^T \cos\left(\underbrace{(\omega_i + \omega_\ell)}_{(N_i + N_\ell) \frac{2\pi}{T}} t\right) dt \\ &= \frac{T}{2} \delta[i - \ell] \quad \text{Pulsos CPFSK son ortogonales!!!}\end{aligned}$$

- Definición de una base ortonormal (dimensión  $M$ )

$$\phi_i(t) = \sqrt{\frac{2}{T}} \sin(\omega_i t) w_T(t) \quad i = 0, 1, \dots, M-1$$

- Señal CPFSK como expansión en la base ortonormal

$$x(t) = \sqrt{E_s} \sum_n \phi_{A[n]}(t - nT)$$

# Receptor para CPFSK (coherente)

- Base ortonormal (espacio  $M$ -dimensional)

- Constelación ortogonal (dimensión  $M$ )

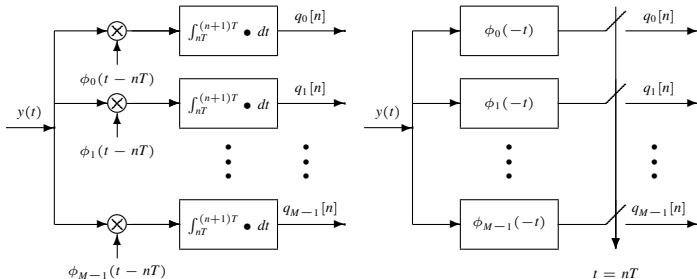
$$A[n] = 0 \equiv \mathbf{a}_0 = [\sqrt{E_s}, 0, 0, 0, \dots, 0]^T$$

$$A[n] = 1 \equiv \mathbf{a}_1 = [0, \sqrt{E_s}, 0, 0, \dots, 0]^T$$

$$A[n] = k \equiv \mathbf{a}_k = [\underbrace{0, 0, \dots, 0}_{k \text{ ceros}}, \sqrt{E_s}, 0, \dots, 0]^T$$

$$A[n] = M - 1 \equiv \mathbf{a}_{M-1} = [0, 0, \dots, 0, \sqrt{E_s}]^T$$

- Estructura del receptor



## Receptores para CPFSK - Prestaciones

- Receptor coherente con filtros adaptados o correladores

$$P_e = Q\left(\sqrt{\frac{E_s}{N_0}}\right)$$

- Efecto de los errores de fase - Ejemplo:  $n = 0$ ,  $A[n] = i$ , error de fase  $\theta$

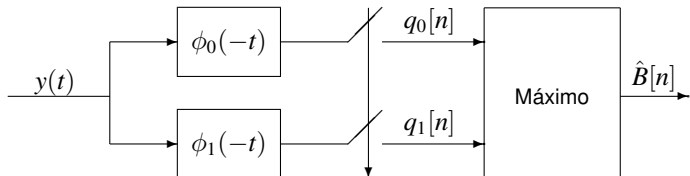
$$y(t) = \sqrt{\frac{2E_s}{T}} \sin(\omega_i t + \theta) w_T(t)$$

Salida del demodulador de índice  $\ell$  (producto escalar de  $y(t)$  con  $\phi_\ell(t)$ )

$$\begin{aligned} q_\ell[0] &= \int_0^T y(t) \phi_\ell(t) dt = \int_0^T \sqrt{\frac{2E_s}{T}} \sin(\omega_i t + \theta) \sqrt{\frac{2}{T}} \sin(\omega_\ell t) dt \\ &= \frac{\sqrt{E_s}}{T} \int_0^T [\cos((\omega_i - \omega_\ell)t + \theta) - \cos((\omega_i + \omega_\ell)t + \theta)] dt \\ &= \sqrt{E_s} \cos(\theta) \delta[i - \ell] \end{aligned}$$

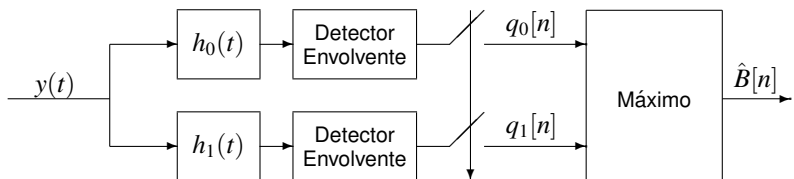
- ▶ Valor ideal:  $\sqrt{E_s}$
- ▶ Término de atenuación:  $\cos(\theta)$
- ▶ Necesidad de receptores coherentes (síncronos)

# Receptor coherente/no-coherente FSK binaria ( $M = 2$ )



$t = nT$

Receptor Coherente

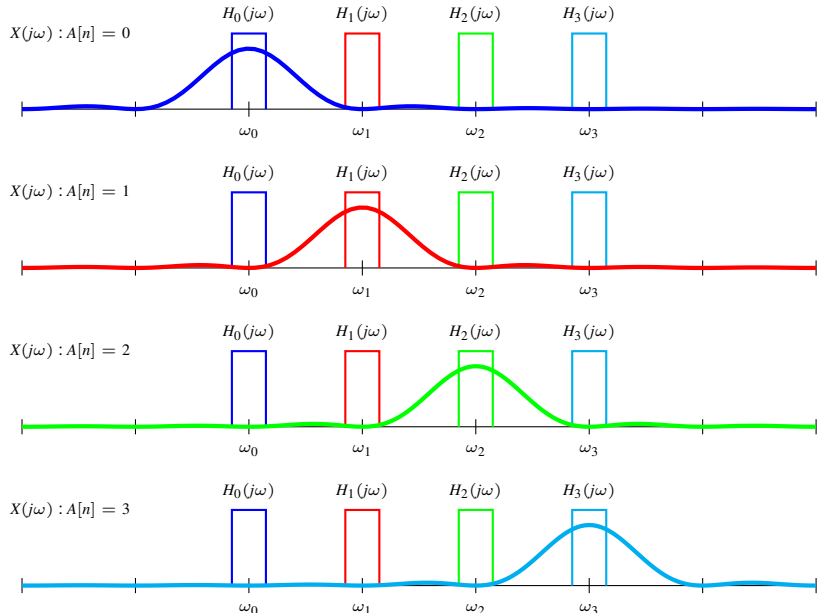


$t = nT$

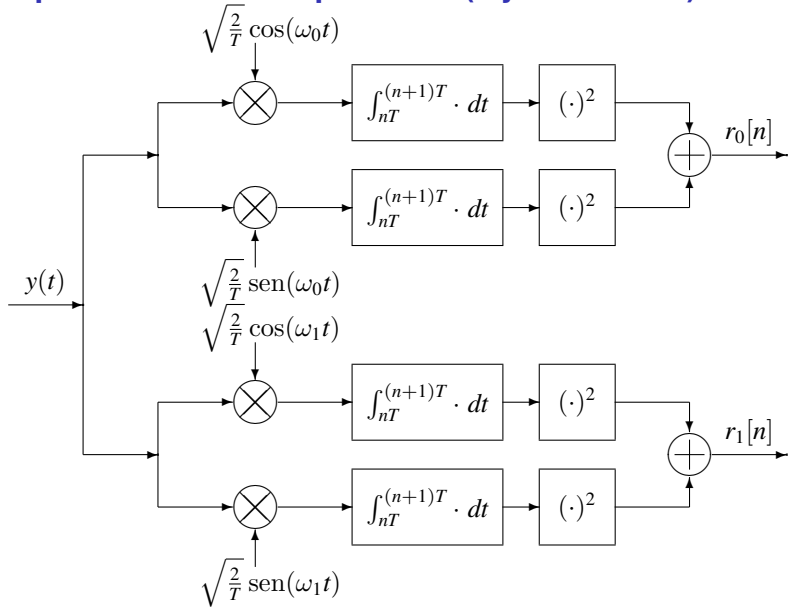
$h_k(t)$ : filtro de banda estrecha centrado en  $\omega_k$

Receptor no coherente

# Detector CPFSK con filtros de banda estrecha ( $M = 4$ )



# Receptor no coherente para FSK (ley cuadrática)



## Receptor no coherente para FSK (ley cuadrática)

- Ejemplo:  $n = 0$ ,  $A[n] = i$ , error de fase  $\theta$

$$y(t) = \sqrt{\frac{2E_s}{T}} \sin(\omega_i t + \theta) w_T(t)$$

Salida de los correladores de índice  $\ell$

$$\begin{aligned} q_{\ell,0}[0] &= \int_0^T \sqrt{\frac{2E_s}{T}} \sin(\omega_i t + \theta) \sqrt{\frac{2}{T}} \cos(\omega_\ell t) dt \\ &= \frac{\sqrt{E_s}}{T} \int_0^T [\sin((\omega_i - \omega_\ell)t + \theta) + \sin((\omega_i + \omega_\ell)t + \theta)] dt \\ &= \sqrt{E_s} \sin(\theta) \delta[i - \ell] \end{aligned}$$

$$\begin{aligned} q_{\ell,1}[0] &= \int_0^T \sqrt{\frac{2E_s}{T}} \sin(\omega_i t + \theta) \sqrt{\frac{2}{T}} \sin(\omega_\ell t) dt \\ &= \frac{\sqrt{E_s}}{T} \int_0^T [\cos((\omega_i - \omega_\ell)t + \theta) - \cos((\omega_i + \omega_\ell)t + \theta)] dt \\ &= \sqrt{E_s} \cos(\theta) \delta[i - \ell] \end{aligned}$$

Salida total de la rama de índice  $\ell$  del demodulador

$$r_\ell[0] = (q_{\ell,0}[0])^2 + (q_{\ell,1}[0])^2 = E_s \delta[i - \ell]$$

- El ruido incluye la contribución de los dos correladores por rama

## FSK como desplazamiento en frecuencia

- Definición de frecuencia central

$$\omega_c = \frac{\omega_0 + \omega_{M-1}}{2} = \frac{\pi}{T} C, \quad C \in \mathbb{Z}, \quad C \text{ impar}$$

- Valor de la frecuencia central  $\omega_c$ : múltiplo impar de  $\frac{\pi}{T}$
- Frecuencia del pulso del símbolo en el instante discreto  $n$

$$\omega_c + I[n] \frac{\pi}{T}$$

- Codificador

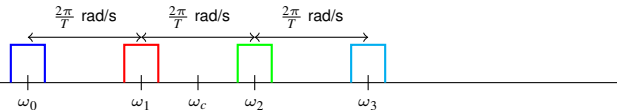
$$I[n] \in \{\pm 1, \pm 3, \dots, \pm(M-1)\}$$

- Expresión FSK como desplazamientos desde  $\omega_c$

$$x(t) = \sqrt{\frac{2E_s}{T}} \sum_n \operatorname{sen} \left( \omega_c t + I[n] \times \frac{\pi}{T} t \right) w_T(t - nT)$$

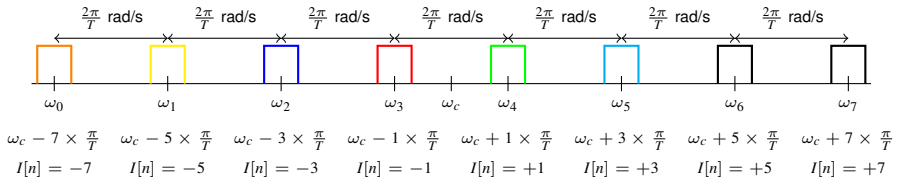
# FSK como desplazamiento en frecuencia (II)

Ejemplo:  $M = 4$



$$\begin{aligned}\omega_c - 3 \times \frac{\pi}{T} & \quad \omega_c - 1 \times \frac{\pi}{T} & \omega_c + 1 \times \frac{\pi}{T} & \quad \omega_c + 3 \times \frac{\pi}{T} \\ I[n] = -3 & \quad I[n] = -1 & I[n] = +1 & \quad I[n] = +3\end{aligned}$$

Ejemplo:  $M = 8$



$$\begin{aligned}\omega_c - 7 \times \frac{\pi}{T} & \quad \omega_c - 5 \times \frac{\pi}{T} & \omega_c - 3 \times \frac{\pi}{T} & \quad \omega_c - 1 \times \frac{\pi}{T} & \omega_c + 1 \times \frac{\pi}{T} & \quad \omega_c + 3 \times \frac{\pi}{T} & \omega_c + 5 \times \frac{\pi}{T} & \quad \omega_c + 7 \times \frac{\pi}{T} \\ I[n] = -7 & \quad I[n] = -5 & I[n] = -3 & \quad I[n] = -1 & I[n] = +1 & \quad I[n] = +3 & I[n] = +5 & \quad I[n] = +7\end{aligned}$$

# Espectro de la señal FSK

- La media de la señal es periódica
- Espectro discreto (espectro de la media periódica)

$$S_{Xd}(j\omega) = \frac{2E_s}{T} \frac{1}{(MT)^2} \left| \sum_{i=0}^{M-1} G_i(j\omega) \right|^2 \sum_k \delta \left( \omega - \frac{2\pi k}{t} \right)$$

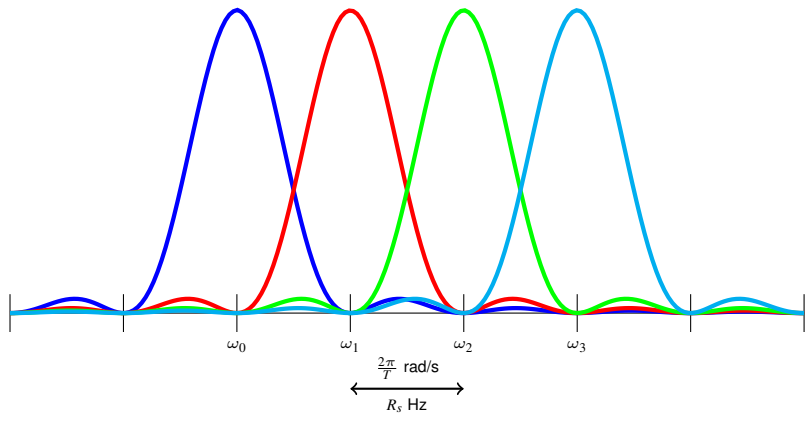
- Espectro continuo

$$S_{Xc}(j\omega) = \frac{2E_s}{T} \frac{1}{MT} \left\{ \sum_{i=0}^{M-1} |G_i(j\omega)|^2 - \frac{1}{M} \left| \sum_{i=0}^{M-1} G_i(j\omega) \right|^2 \right\}$$

- FSK - Densidad espectral de potencia

$$S_X(j\omega) = S_{Xc}(j\omega) + S_{Xd}(j\omega)$$

# Espectro CPFSK, ejemplo $M = 4$



$$\xleftarrow{\qquad\qquad\qquad} \begin{aligned} W_{eff} &\approx (M + 1) \frac{2\pi}{T} \text{ rad/s} \\ B_{eff} &\approx (M + 1) R_s \text{ Hz} \end{aligned} \xrightarrow{\qquad\qquad\qquad}$$

## Modulación MSK (Minimum shift keying)

- Información: cambios de frecuencia en la frecuencia de una portadora
- Mínima separación de frecuencia entre portadoras (casi) ortogonales
- Producto escalar de pulsos  $g_i(t)$

$$\begin{aligned}\langle \mathbf{g}_i, \mathbf{g}_\ell \rangle &= \int_0^T \sin(\omega_i t) \sin(\omega_\ell t) dt \\ &= \frac{1}{2} \int_0^T \cos[(\omega_i - \omega_\ell)t] dt - \frac{1}{2} \cos[(\omega_i + \omega_\ell)t] dt \\ &= \frac{T}{2} \frac{\sin[(\omega_i - \omega_\ell)T]}{(\omega_i - \omega_\ell)} - \frac{T}{2} \frac{\sin[(\omega_i + \omega_\ell)T]}{(\omega_i + \omega_\ell)}\end{aligned}$$

- Separación mínima (sistemas de banda estrecha)

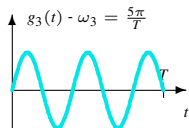
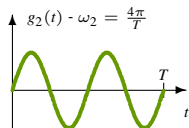
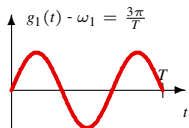
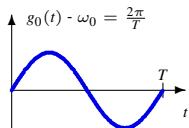
► Asunción:  $\frac{\sin[(\omega_i + \omega_\ell)T]}{(\omega_i + \omega_\ell)}$  se puede despreciar (denominador elevado)

$$\omega_i - \omega_\ell = \frac{\pi}{T} \times N_{i,\ell} \text{ rad/s, con } N_{i,\ell} \in \mathbb{Z}, \quad i, \ell = 0, 1, \dots, M-1, \quad i \neq \ell$$

$$f_i - f_\ell = \frac{R_s}{2} \times N_{i,\ell} \text{ Hz}$$

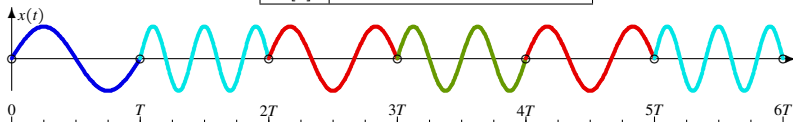
# Formas de onda MSK - Ejemplo para $M = 4$

- Pulsos para  $M = 4$  (un posible ejemplo)

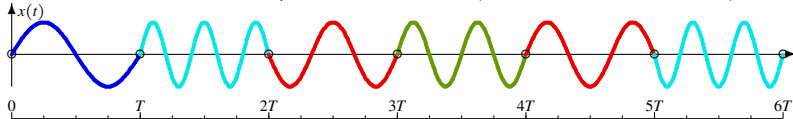


- Forma de onda para

$n$	0	1	2	3	4	5
$A[n]$	0	3	1	2	1	3



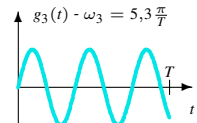
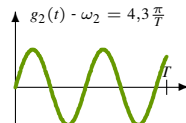
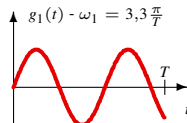
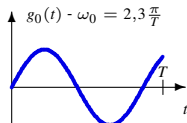
Sin memoria, saltos de fase pueden darse en  $nT$  (cuando cambia el símbolo)



Identificación de la fase al final de cada intervalo de símbolo ( $\theta[n]$ ) permite la continuidad

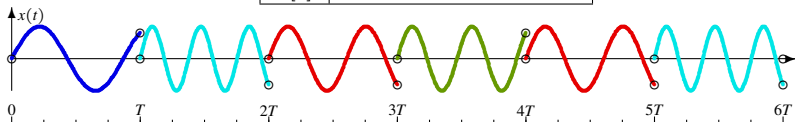
## Formas de onda MSK - Ejemplo para $M = 4$ (II)

- Otro ejemplo con frecuencias que no son múltiplos enteros de  $\frac{\pi}{T}$

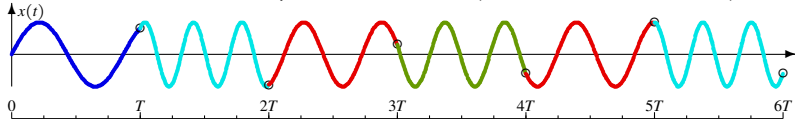


- Forma de onda para

$n$	0	1	2	3	4	5
$A[n]$	0	3	1	2	1	3



Sin memoria, saltos de fase pueden darse en  $nT$  (cuando cambia el símbolo)



Identificación de la fase al final de cada intervalo de símbolo ( $\theta[n]$ ) permite la continuidad

## Modulación MSK (II)

- Diferencias clave con la modulación CPFSK
  - ▶ Separación entre frecuencias consecutivas es la mitad para MSK
    - ★ MSK:  $\Delta\omega = \omega_i - \omega_{i-1} = \frac{\pi}{T}$
    - ★ CPFSK:  $\Delta\omega = \omega_i - \omega_{i-1} = \frac{2\pi}{T}$
  - ▶ Valores para  $\omega_i$  no restringidos a múltiplos enteros de  $\frac{2\pi}{T}$  como en CPFSK (ni tampoco a ser múltiplos de  $\frac{\pi}{T}$ )
    - ★ Selección de frecuencias no garantiza automáticamente continuidad de fase
    - ★ Es preciso introducir memoria para tener continuidad de fase

- Señal MSK en notación con frecuencia central

$$x(t) = \sqrt{\frac{2E_s}{T}} \sum_n \sin \left( \omega_c t + I[n] \times \frac{\pi}{2T} t + \theta[n] \right) w_T(t - nT)$$

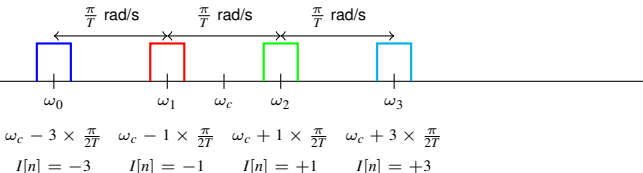
- ▶ Codificador:  $I[n] \in \{\pm 1, \pm 3, \dots, \pm(M-1)\}$
- ▶ Continuidad de fase: se introduce el término de memoria  $\theta[n]$

$$\theta[n] = \theta[n-1] + \frac{\pi n}{2} (I[n-1] - I[n]), \quad \text{mod } 2\pi$$

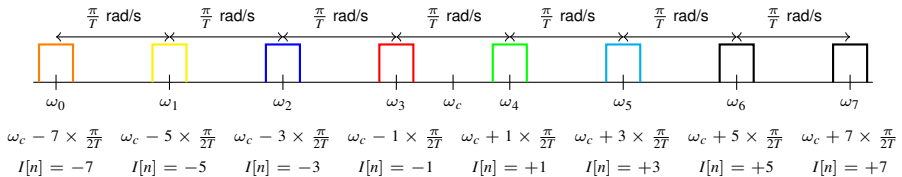
Estimación recursiva de la fase acumulada al final de cada intervalo de símbolo

# MSK como desplazamiento en frecuencia

Ejemplo:  $M = 4$

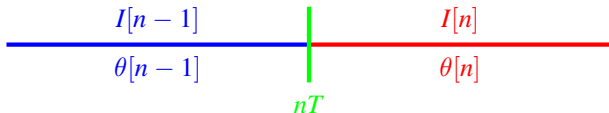


Ejemplo:  $M = 8$



## Memoria $\theta[n]$ : cálculo recursivo

$$x(t) = \sqrt{\frac{2E_s}{T}} \operatorname{sen} \left( \omega_c t + I[n] \frac{\pi}{2T} t + \theta[n] \right) w_T(t - nT)$$



- Continuidad de fase en  $t = nT$

$$\omega_c nT + I[n-1] \underbrace{\frac{\pi}{2T} nT}_{\frac{\pi n}{2}} + \theta[n-1] = \omega_c nT + I[n] \underbrace{\frac{\pi}{2T} nT}_{\frac{\pi n}{2}} + \theta[n]$$

$$\theta[n] = \theta[n-1] + \frac{\pi n}{2} (I[n-1] - I[n])$$

# Espectro MSK

- Expresión alternativa para MSK

$$x(t) = \sqrt{2E_s} \cos(\omega_c t) \sum_{n \text{ par}} I[n] \cos(\theta[n]) (-1)^{n/2} g(t - nT) + \sqrt{2E_s} \sin(\omega_c t) \sum_{n \text{ par}} \cos(\theta[n]) (-1)^{n/2} g(t - nT + T)$$

- Similar a OQPSK

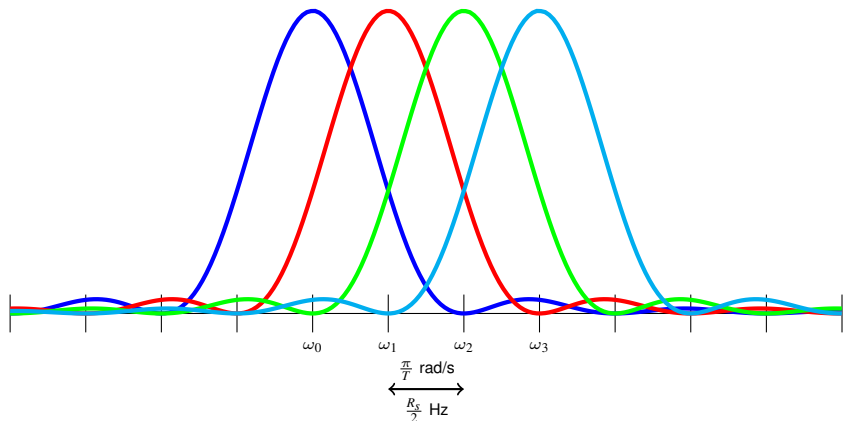
- ▶ Nuevos símbolos
- ▶ Pulso:

$$g(t) = \sqrt{\frac{1}{T}} \sin\left(\frac{\pi t}{2T}\right) w_{2T}(t), |G(j\omega)|^2 = 16T\pi^2 \left(\frac{\cos(\omega T)}{\pi^2 - 4\omega^2 T^2}\right)^2$$

- Espectro MSK

$$S_X(j\omega) = 8E_s\pi^2 \left(\frac{\cos[(\omega - \omega_c)T]}{\pi^2 - 4(\omega - \omega_c)^2 T^2}\right)^2 + 8E_s\pi^2 \left(\frac{\cos[(\omega + \omega_c)T]}{\pi^2 - 4(\omega + \omega_c)^2 T^2}\right)^2$$

## Espectro MSK, ejemplo $M = 4$



$$\xleftarrow[B_{eff} \approx (M+3)\frac{R_s}{2} \text{ Hz}]{W_{eff} \approx (M+3)\frac{\pi}{T} \text{ rad/s}}$$

## Receptores para MSK

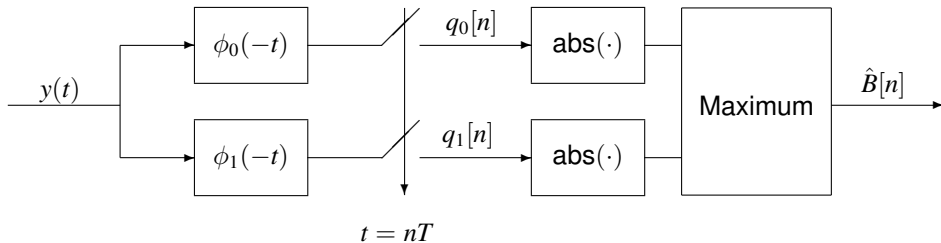
- Demodulador basado en el receptor ML para FSK
- Demodulador basado en el ML para OQPSK
- Probabilidad de error

$$P_e = 2Q\left(\sqrt{\frac{E_s}{N_0}}\right)$$

- ▶ No se tiene en cuenta la memoria del sistema
- ▶ Demodulador óptimo más complejo

## Receptor MSK binario

- Receptor MSK sub-óptimo basado en receptor para FSK donde la evaluación del valor absoluto para cada posible frecuencia se introduce para considerar diferentes fases iniciales



## Modulaciones de fase continua (CPM)

- Familia que incluye a la CPFSK y MSK
- Características básicas
  - ▶ Envolvente constante
  - ▶ Continuidad de fase
  - ▶ Reducción del ancho de banda:
    - ★ Suavizando la evolución de la fase instantánea
- Señal CPM: expresión analítica en el dominio temporal

$$x(t) = \sqrt{\frac{2E_s}{T}} \operatorname{sen}(\omega_c t + \theta_0 + \theta(t, \mathbf{I}))$$

- ▶ **I:** Secuencia de símbolos transmitidos
- ▶  $\omega_c$ : frecuencia nominal de la portadora
- ▶  $\theta_0$ : fase inicial de la portadora
- ▶  $E_s$ : energía transmitida durante un período de símbolo

# Frecuencia instantánea de una sinusoide

- Señal sinudoidal con argumento variable

$$\text{sen}(\phi(t))$$

- ▶ Frecuencia instantánea

$$\omega_i(t) = \frac{d\phi(t)}{dt} \text{ rad/s}$$

$$f_i(t) = \frac{1}{2\pi} \frac{d\phi(t)}{dt} \text{ Hz}$$

- Señal con frecuencia  $\omega_c = 2\pi f_c$  rad/s + argumento variable

$$\text{sen}(\omega_c t + \theta_0 + \theta(t))$$

- ▶ Frecuencia instantánea

$$\omega_i(t) = \omega_c + \frac{d\theta(t)}{dt} \text{ rad/s}$$

$$f_i(t) = f_c + \frac{1}{2\pi} \frac{d\theta(t)}{dt} \text{ Hz}$$

## Generación de la señal CPM de respuesta completa

- Codificador:  $I[n] \in \{\pm 1, \pm 3, \dots, \pm(M-1)\}$
- Señal PAM en banda base

$$s(t) = \sum_n I[n] g(t - nT)$$

- Respuesta completa:

- ▶ Pulso  $g(t)$  causal de duración máxima  $T$  seg.
    - ★ Habitualmente normalizado

$$g(t) = 0 \text{ si } t > T$$

$$\text{Normalización: } \int_{-\infty}^{\infty} g(t) dt = \frac{1}{2}$$

- Señal CPM: frecuencia instantánea  $\omega_c + 2 \omega_d T s(t)$  rad/s
- Fase instantánea para esa frecuencia (integral de la frecuencia)

$$\theta(t, \mathbf{I}) = 2 \omega_d T \int_{-\infty}^t s(\tau) d\tau \text{ rad}$$

- ▶  $\omega_d$ : desviación de frecuencia de pico

## Expresión CPM en el dominio temporal

$$x(t) = \sqrt{\frac{2E_s}{T}} \operatorname{sen} \left[ \omega_c t + \theta_0 + 2 \omega_d T \underbrace{\int_{-\infty}^t \sum_n I[n] g(\tau - nT) d\tau}_{s(\tau)} \overbrace{\theta(t, \mathbf{I})}^{\theta(t, \mathbf{I})} \right]$$

- Fase  $\theta(t, \mathbf{I})$  en el intervalo  $[nT, (n+1)T]$  (intervalo asociado a  $I[n]$ )

$$\theta(t, \mathbf{I}) = 2 \omega_d T \int_{-\infty}^t s(\tau) d\tau = \theta[n] + \theta(t, n) \text{ rad}$$

- ▶  $\theta[n]$ : fase acumulada hasta  $t = nT$ :
  - ★ Debida a los símbolos transmitidos anteriormente (hasta  $I[n-1]$ )

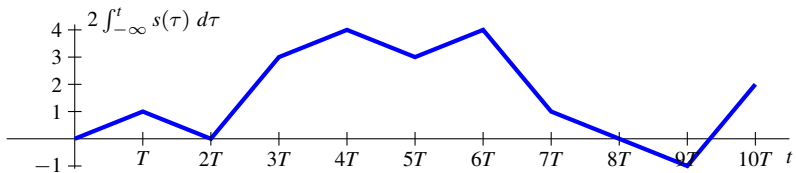
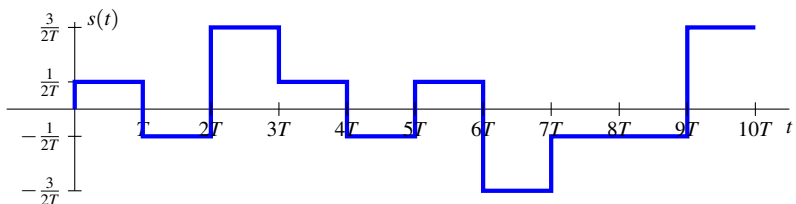
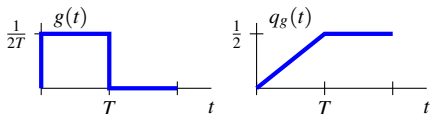
$$\theta[n] = \omega_d T \sum_{m=-\infty}^{n-1} I[m] \text{ rad}$$

- ▶  $\theta(t, n)$ : fase incremental desde  $nT$  hasta  $t$ :
  - ★ Debida al símbolo actual  $I[n]$

$$\theta(t, n) = 2 \omega_d T I[n] q_g(t - nT) \text{ rad}, \text{ con } q_g(t) = \int_{-\infty}^t g(\tau) d\tau$$

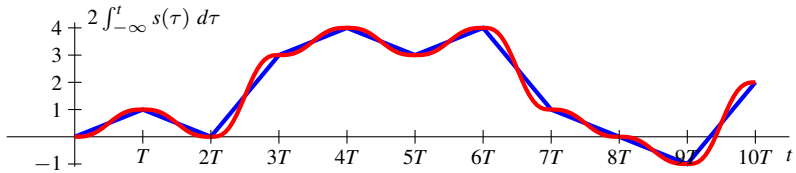
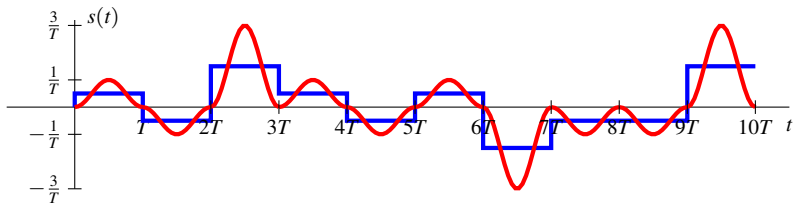
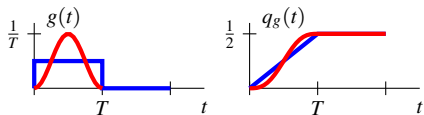
# CPM - Un ejemplo de evolución de la fase

$n$	0	1	2	3	4	5	6	7	8	9
$I[n]$	+1	-1	+3	+1	-1	+1	-3	-1	-1	+3



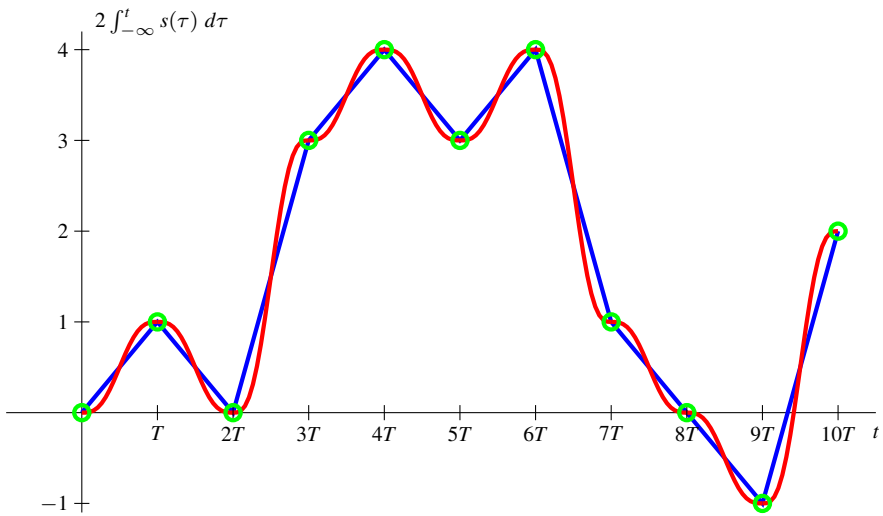
## CPM - Un ejemplo de evolución de la fase (II)

$n$	0	1	2	3	4	5	6	7	8	9
$I[n]$	+1	-1	+3	+1	-1	+1	-3	-1	-1	+3



## CPM - Un ejemplo de evolución de la fase (III)

$n$	0	1	2	3	4	5	6	7	8	9
$I[n]$	+1	-1	+3	+1	-1	+1	-3	-1	-1	+3



# Expresión CPM en el dominio temporal - Índice de modulación

- Expresión alternativa introduciendo un parámetro diferente (que reemplaza a la desviación de frecuencia de pico)
- Definición del índice de modulación  $h$ :

$$h = \omega_d \frac{T}{\pi}$$

- Valor de fase asociado al intervalo para  $I[n]$ :
  - ▶  $\theta[n]$ : fase acumulada hasta  $t = nT$ :

$$\theta[n] = \pi h \sum_{m=-\infty}^{n-1} I[m] \text{ rad}$$

- ▶  $\theta(t, n)$ : incremento de fase desde  $nT$  hasta  $t$ :

$$\theta(t, n) = 2 \pi h I[n] q_g(t - nT) \text{ rad}$$

# Identificación de CPFSK binaria como CPM

- Expresión analítica para una CPFSK binaria

$$x(t) = \sqrt{\frac{2E_s}{T}} \sum_n \sin\left(\omega_c t + I[n] \frac{\pi t}{T}\right) w_T(t - nT).$$

- CPFSK binaria como CPM:  $\omega_d = \frac{\pi}{T}$ ,  $h = 1$
- Considerando  $\theta[0] = 0$

$$\theta(t, \mathbf{I}) = \pi \sum_{m=0}^{n-1} I[m] + 2\pi I[n] \frac{(t - nT)}{2T} = \pi \sum_{m=0}^{n-1} I[m] - n\pi I[n] + \frac{\pi t}{T} I[n]$$

- ▶ Considerando que la expresión

$$\pi \sum_{m=0}^{n-1} I[m] - n\pi I[n] = K 2\pi, \quad K \in \mathbb{Z}$$

- ▶ La fase  $\theta(t, \mathbf{I})$  es, en módulo  $2\pi$

$$\theta(t, \mathbf{I}) = \frac{\pi t}{T} I[n] = \pm \frac{\pi t}{T}$$

# Identificación de la MSK como una CPM

- Señal MSK

$$x(t) = \sqrt{\frac{2E_s}{T}} \sum_n \sin \left( \omega_c t + I[n] \frac{\pi t}{2T} + \theta[n] \right) w_T(t - nT).$$

- Identificación como CPM

$$\omega_d = \frac{\pi}{2T}, \quad h = \frac{1}{2}$$

# Árbol de fase en modulaciones CPM

- Representa la posible evolución temporal de la fase
  - ▶ Un camino para cada posible secuencia de símbolos
- Transición en un intervalo de símbolo
  - ▶ Incremento de fase en el intervalo de índice  $n$

$$\theta((n+1)T) - \theta(nT) = \theta[n+1] - \theta[n] = \pi h I[n] \text{ rad}$$

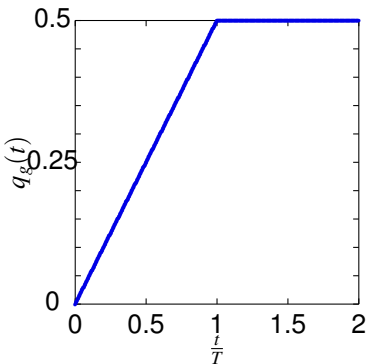
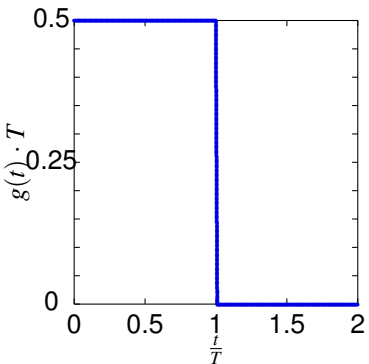
- ▶ Forma para moverse desde el valor de fase en el inicio del intervalo hasta el valor de fase al final del intervalo
  - ★ Proporcional a la integral del pulso  $g(t)$ , i.e.,  $q_g(t)$

$$\theta(t, n) = 2 \pi h I[n] q_g(t - nT) \text{ rad}$$

## Ejemplo de árbol de fase - pulso rectangular

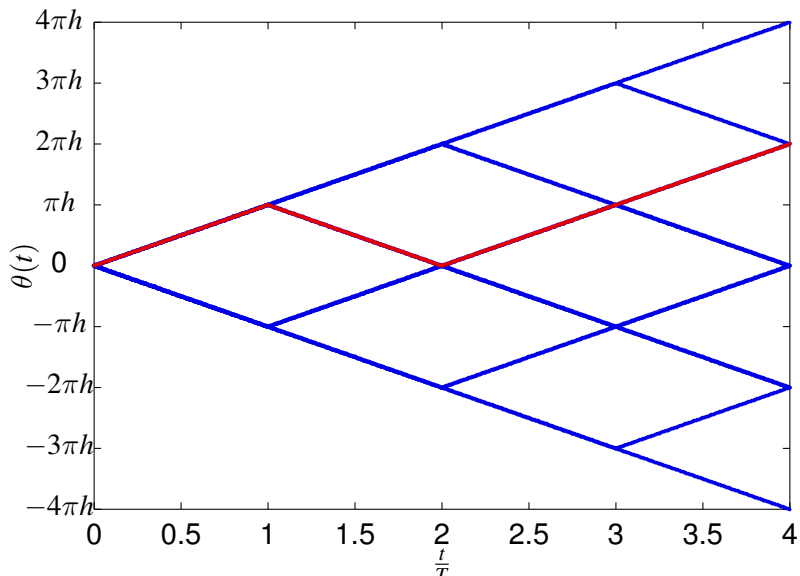
- Ejemplo: pulso rectangular

$$g(t) = \begin{cases} \frac{1}{2T}, & 0 \leq t < T \\ 0, & \text{en otro caso} \end{cases}, \quad q_g(t) = \int_{-\infty}^t g(\tau) d\tau = \begin{cases} 0, & t < 0 \\ \frac{t}{2T}, & 0 \leq t < T \\ 1/2, & t \geq T \end{cases}$$



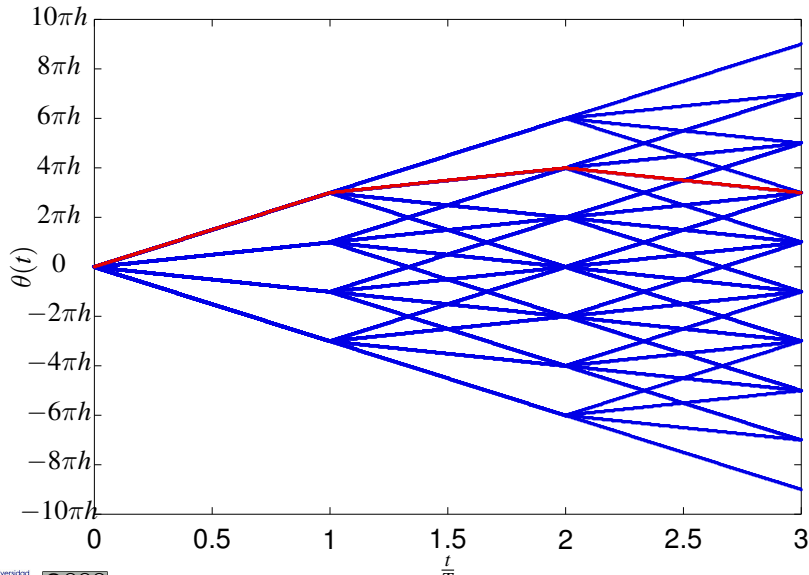
## Ejemplo de árbol de fase - pulso rectangular - binario

- Secuencia resaltada:  $I[0] = +1, I[1] = -1, I[2] = +1, I[3] = +1$



## Ejemplo de árbol de fase - pulso rectangular - cuaternario

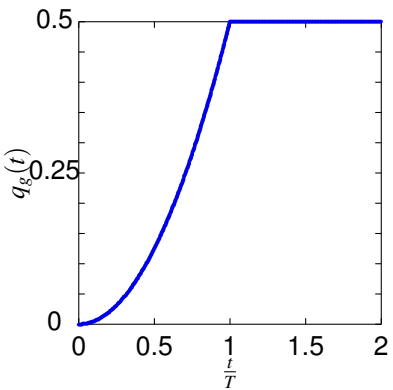
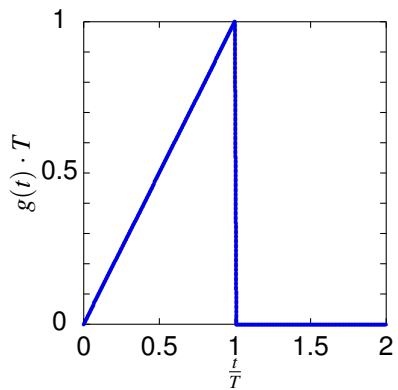
- Secuencia resaltada:  $I[0] = +3, I[1] = +1, I[2] = -1$



## Árbol de fase - Ejemplo - Pulso triangular

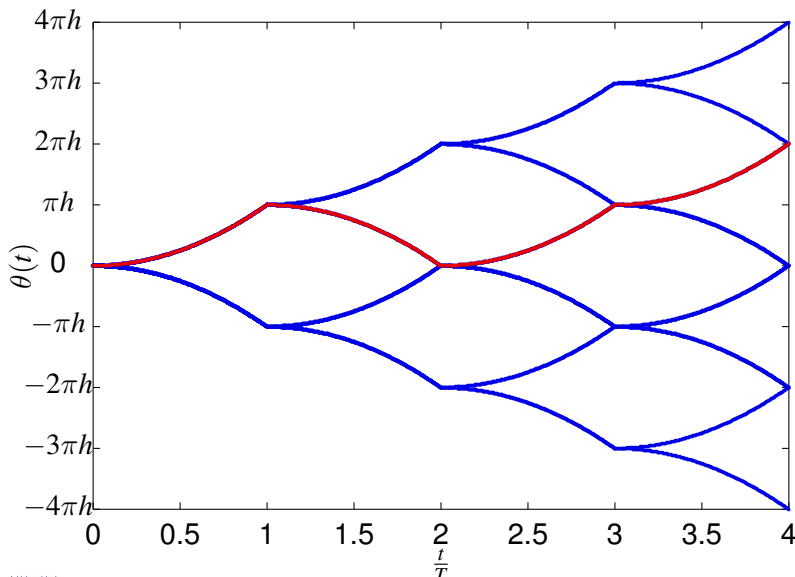
- Ejemplo: pulso triangular

$$g(t) = \begin{cases} \frac{t}{T^2}, & 0 \leq t < T \\ 0, & \text{en otro caso} \end{cases}, \quad q_g(t) = \int_{-\infty}^t g(t) dt = \begin{cases} 0, & t < 0 \\ \frac{t^2}{2T^2}, & 0 \leq t < T \\ 1/2, & t \geq T \end{cases}$$



## Árbol de fase - Ejemplo - Pulso triangular - binario

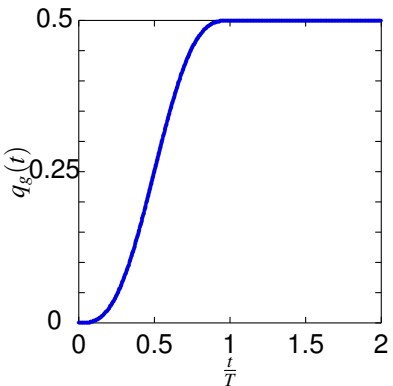
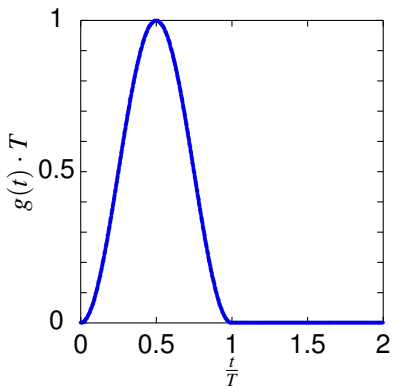
- Secuencia resaltada:  $I[0] = +1, I[1] = -1, I[2] = +1, I[3] = +1$



## Árbol de fases - Ejemplo - Pulso más suaves

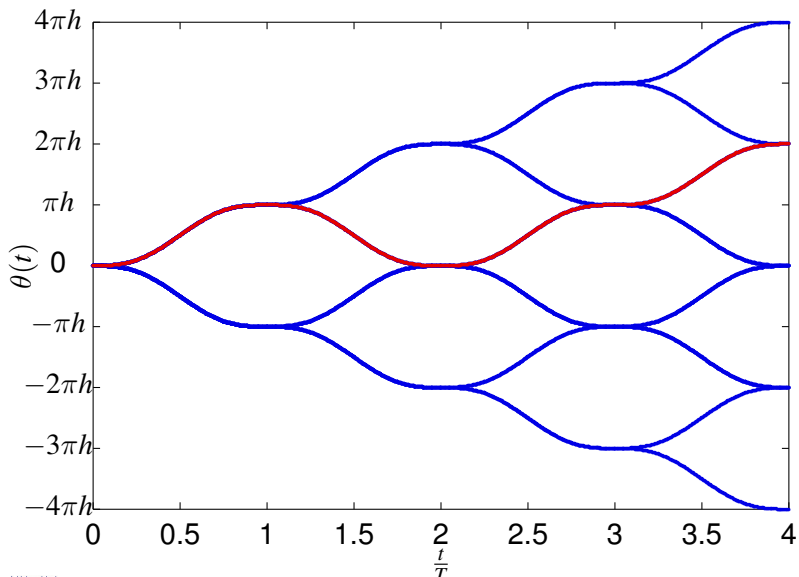
- Ejemplo: pulso en coseno alzado ( $L = 1$ )

$$g(t) = \frac{1}{2T} \left[ 1 - \cos \left( \frac{2\pi t}{T} \right) \right] w_T(t), \quad q_g(t) = \begin{cases} 0, & t < 0 \\ \frac{1}{2T} \left[ t - \frac{T}{2\pi} \sin \left( \frac{2\pi t}{T} \right) \right], & 0 \leq t < T \\ 1/2, & t \geq T \end{cases}$$



## Árbol de fases - Ejemplo - Pulses más suaves - binario

- Secuencia resaltada:  $I[0] = +1, I[1] = -1, I[2] = +1, I[3] = +1$



## CPM de respuesta parcial

- El pulso  $g(t)$  dura  $L$  períodos de símbolo ( $L > 1$ )
- La fase  $\theta(t, \mathbf{I})$  en el intervalo  $[nT, (n+1)T]$

$$\begin{aligned}\theta(t, \mathbf{I}) &= 2\pi h \sum_{m=-\infty}^n I[m] q_g(t - mT) \\ &= \theta[n] + \theta(t, n) \text{ rad}\end{aligned}$$

- ▶  $\theta[n]$ : fase acumulada hasta  $nT$  debida a los pulsos que han finalizado

$$\theta[n] = \pi h \sum_{m=-\infty}^{n-L} I[m] \text{ rad}$$

- ▶  $\theta(t, n)$ : contribución de los pulsos que no han finalizado al inicio del intervalo

$$\theta(t, n) = 2\pi h \sum_{m=n-L+1}^n I[m] q_g(t - mT)$$

# Pulsos para CPM de respuesta parcial

- Pulsos en coseno alzado

$$g(t) = \frac{1}{2LT} \left[ 1 - \cos \left( \frac{2\pi t}{LT} \right) \right] w_{LT}(t)$$

- ▶ Suavizan las transiciones de fase
- Gaussian MSK (GMSK)

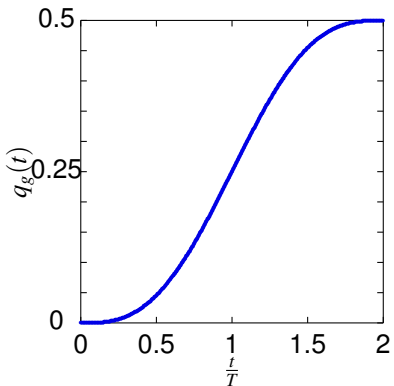
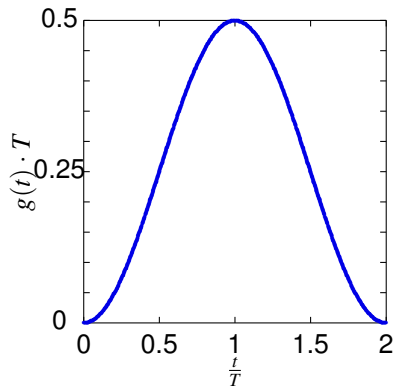
$$g(t) = \frac{1}{2T} \left[ Q \left( \frac{2\pi\beta(t - T/2)}{\sqrt{\ln 2}} \right) - Q \left( \frac{2\pi\beta(t + T/2)}{\sqrt{\ln 2}} \right) \right]$$

- ▶ Empleado en GSM ( $\beta = 0,3$ ) y DECT ( $\beta = 0,2$ )
- ▶ Pulso rectangular filtrado con respuesta gaussiana

## Árbol de fases - CPM de respuesta parcial - Ejemplo

- Ejemplo: pulso en coseno alzado ( $L = 2$ )

$$g(t) = \frac{1}{4T} \left[ 1 - \cos \left( \frac{2\pi t}{2T} \right) \right] w_{2T}(t), \quad q_g(t) = \begin{cases} 0, & t < 0 \\ \frac{1}{4T} \left[ t - \frac{2T}{2\pi} \sin \left( \frac{2\pi t}{2T} \right) \right], & 0 \leq t < T \\ 1/2, & t \geq T \end{cases}$$



## Árbol de fases - CPM de fase parcial - Ejemplo - binario

- Secuencia resaltada:  $I[0] = +1, I[1] = -1, I[2] = +1, I[3] = +1$

